

# Analisa Local Stress pada Free Water Knock Out (FWKO) Vessel Akibat Beban Eksternal Nozzle Line Process Piping Inlet High Pressure Oil Separation System Study Case Project Jirak Waterflood PEP

Luky Arya Wijaya<sup>1\*</sup>, Moh. Miftachul Munir<sup>2</sup>, Mahasin Maulana Ahmad<sup>3</sup>

Program Studi D-IV Teknik Perpipaan, Jurusan Teknik Permesinan Kapal, Politeknik Perkapalan Negeri Surabaya, Indonesia<sup>1\*</sup>

Program Studi D-IV Teknik Pengelasan, Jurusan Teknik Bangunan Kapal, Politeknik Perkapalan Negeri Surabaya, Indonesia<sup>2</sup>

Program Studi D-IV Teknik Perpipaan, Jurusan Teknik Permesinan Kapal, Politeknik Perkapalan Negeri Surabaya, Indonesia<sup>3</sup>

Email: [lukyarya18@gmail.com](mailto:lukyarya18@gmail.com)<sup>1\*</sup>; [mas.munir@gmail.com](mailto:mas.munir@gmail.com)<sup>2</sup>; [mahasinmaulana@ppns.ac.id](mailto:mahasinmaulana@ppns.ac.id)<sup>3</sup>;

**Abstract** - The separation system "EPC Pengembangan Fasilitas Produksi dan Injeksi Lapangan Jirak Waterflood" project uses free water knock out (FWKO) and line process piping as high pressure 3 phase fluid separation with design pressure 100 psig temperature 176 °F. In design of nozzle feed inlet (NI-10") with outside diameter nozzle 10.75 in, and nominal thickness 0.594 in result design of reinforcement pad with diameter pad 14.182 in, and pad thickness 0.472 in. In design of process line inlet piping according to ASME B31.3 using pipe material A-106 Gr.B NPS 8 in Sch 20 with nominal thickness 0.25 in. Analysis of WRC 107 local stress on the cylindrical shell due to external load line piping resulted in stress grouping 1, 2, and 3 of 12794.220 psi, 13135.109 psi, and 13632.715 psi. And validation calculation using component analysis software CAESAR II to get the match result of software and check the results of the analysis of local stress cylindrical vessels.

**Keywords:** External Load Piping, FWKO Vessel, Local Stress, Nozzle Design, Software

## Nomenclature

<b>Pm</b>	primary general membrane stress (psi)
<b>P</b>	pressure (psi)
<b>R</b>	radius of shell (in)
<b>ts</b>	tebal shell (in)
<b>PL</b>	primary local stress (psi)
<b>Q</b>	secondary stress (psi)
<b>P</b>	radial load (lb)
<b>Mc</b>	circumferential moment (lb.in)
<b>ML</b>	longitudinal moment (lb.in)
<b>MT</b>	torsional moment (lb.in)
<b>Vc</b>	circumferential force (lb)
<b>VL</b>	longitudinal force (lb)
<b><math>\sigma_\phi</math></b>	normal stress in the circumferential direction with respect to the shell (psi)
<b><math>\sigma_x</math></b>	normal stress in the longitudinal direction with respect to the shell (psi)
<b><math>\tau_x</math></b>	shear stress in the x face in the $\phi$ direction with respect to the shell (psi)
<b><math>\tau_\phi</math></b>	shear stress in the $\phi$ face in the x
<b><math>N_{\phi}, N_x</math></b>	membrane force in shell wall in the circumferential and longitudinal direction with respect to the shell
<b><math>M_{\phi}, M_x</math></b>	bending moment in shell wall in the circumferential and longitudinal direction with respect to the shell
<b>x</b>	coordinate in longitudinal direction of shell
<b><math>\phi</math></b>	coordinate in circumferential direction of shell
<b><math>\beta</math></b>	attachment parameter
<b><math>\gamma</math></b>	shell parameter
<b>Rm</b>	mean radius of cylindrical shell (in)

<b>Ro</b>	outside radius of cylindrical attachment (in)
<b>T</b>	thickness of cylindrical shell (in) direction with respect to the shell (psi)
<b>Kn</b>	stress concentration factor for membrane load
<b>Kb</b>	stress concentration factor for bending load
<b>Ni</b>	tegangan membran tiap satuan panjang shell dalam arah i (lb/in)
<b>Mi</b>	tegangan bending tiap satuan panjang shell dalam arah i (lb/in)

## 1. PENDAHULUAN

Jirak Waterflood Project merupakan fungsi kerja yang berada di area kerja PT. Pertamina EP berlokasi di Lapangan Jirak, Field Pendopo. Sebagai tindak lanjut dalam pengembangan struktur Jirak melalui program *infill drilling & work over* maupun program *waterflooding*, maka PT Pertamina EP berencana akan melakukan pembangunan fasilitas pengolahan dan injeksi air terproduksi di lapangan Jirak (*Water Treatment & Injection Plant / WTIP*) dengan tujuan meningkatkan kapasitas dan kualitas serta optimalisasi air injeksi dan minyak. Sejalan dengan penambahan jumlah sumur aktif yang berproduksi menggunakan *artificial lift*, berkembangnya *Fluid Handling Facility* berupa penambahan *Equipment Skimming Tank* untuk separasi minyak tekanan rendah dan FWKO untuk separasi minyak dengan tekanan tinggi.

Berdasarkan UG-22 ASME Sec VIII Div 1, beban yang harus dipertimbangkan untuk merancang bejana tekan meliputi *internal* atau *external design*

*pressure, weight of vessel* dalam kondisi operasi maupun tes dan *attachment* seperti *nozzle* (ASME, 2017) [3]. Perhitungan manual *stress analysis in a cylindrical shell* sesuai dengan *Welding Research Council (WRC) 107* digunakan untuk memverifikasi efek beban *nozzle* pada *shell* (G.S. Jagadale, 2015) [4]. Dan untuk membandingkan hasil perhitungan manual dibutuhkan pemodelan dengan menggunakan *component analysis software*.

*Vessel free water knock out (FWKO)* didesain dengan *design pressure* sebesar 100 psig, *design temperature* sebesar 176 °F, dan *capacity* 17500 BFPD (*Barrel Fluid Per Day*). Dan sesuai pada *specification process design basis* menyatakan bahwa *sparing philosophy* pada proyek *Jirak Waterflood PEP* ini *vessel free water knock out (FWKO)* merupakan *main equipment* dan harus memakai U-*Stamp ASME* serta tersertifikasi *MIGAS*.

## 2. METODOLOGI

### 2.1 Prosedur Penelitian

Pada penelitian ini menjelaskan cara dan analisa desain *vessel free water knock out (FWKO)* sebagai proses separasi minyak bertekanan tinggi sesuai *code* dan perancangan line process inlet & outlet vessel yang terhubung pada *vessel free water knock out (FWKO)*.

*Stress analysis in a cylindrical shell* sesuai dengan *WRC 107* berdasarkan beban *external* akibat percabangan *line process inlet nozzle vessel* manual dan menggunakan *component analysis software*.

### 2.2 Tinjauan Pustaka

#### 2.2.1 Data teknis

Untuk dapat melakukan analisa *local stress FWKO vessel* akibat beban *eksternal nozzle line process piping inlet*, dibutuhkan perancangan desain *pressure vessel Free Water Knock Out (FWKO)* dan *line process piping*, beberapa data berikut diperlukan sebagai pendukung objek perancangan yang akan dilakukan.

Tabel 1 Data Kondisi Desain

Design Condition	Value	Unit
Design Pressure (Pd)	110	psig
Design Temperature (Td)	176	°F
Operating Pressure (Po)	40.57	psig
Operating Temperature (To)	155.3	°F
Capacity	17500	BFPD
Allow Stress Shell (Sshell)	20000	psi
Allow Stress Head (Shead)	20000	psi
Joint Eff Shell (Eshell)	1	
Joint Eff Head (Ehead)	1	
Corrosion Allow (CA)	0.118	in
Internal Diameter (ID)	8	ft
Length	21 ft 4 in	(T/T)
Depth of Head (H)	24	in
Inside Radius (R)	48	in

Sumber: Data Perusahaan

Tabel 2 Data Fluid Properties

Fluid Properties	Value	Unit
Sp. Gravity	0.846	
Density ( $\rho$ )	846	kg/m³

Fluid Properties	Value	Unit
Liq Level (H)	73	in
Gravity	9.8065	m/s²

Sumber: Data Perusahaan

Tabel 3 Data Material

Komponen	Material
Shell / Head	SA 516 Gr.70
Nozzle	SA 106 Gr. B / SA 516 Gr. 70
Nozzle Plate	SA 516 Gr.70
Flange	SA 105
Saddle	SA 36
Lifting Lug	SA 36

Sumber: Data Perusahaan

#### 2.2.2 Analisa local stress pada cylindrical vessel akibat beban nozzle

Beban yang harus dipertimbangkan dalam merancang bejana tekan yaitu *internal* atau *external design pressure, weight of vessel* dalam kondisi operasi maupun tes, *welded component* atau *attachment* seperti *nozzle* (ASME, 2017) [3]. Untuk memastikan pada sambungan *nozzle* akibat beban external yang diterima *nozzle* tidak terjadi tegangan yang berlebih maka perlu dilakukan *local stress analysis of a nozzle in cylindrical shell*. (G.S. Jagadale, 2015) [4].

Kategori *stress* pada *pressure vessel* adalah *primary, secondary* dan *peak stress*. *Primary stress* dibedakan lagi menjadi 3 (tiga) yaitu *primary local stress (PL)*, *primary general bending stress (Pb)* dan *primary general membrane stress (Pm)*. *Primary general stress* merupakan tegangan yang terjadi pada seluruh bagian perpotongan pressure vessel yang diakibatkan oleh beban mekanik. Perhitungan *primary general membrane stress* dapat dilihat pada persamaan 1. *Secondary stress (Q)* merupakan *load and moment* akibat *thermal expansion* (Moss, 2004) [6]. Pada penelitian ini hanya membahas primary dan secondary stress. Komponen tegangan diuraikan dalam komponen tegangan *longitudinal (σx)* dan tegangan *circumferential (σθ)*. *Allowable stress* untuk kombinasi tegangan berdasarkan *ASME Section VIII Divisi 2* dapat dilihat pada Tabel 4 (ASME, 2010) [2].

$$P_m = \frac{P \times R}{t_s} \quad (1)$$

Tabel 4 Allowable Stress Categories

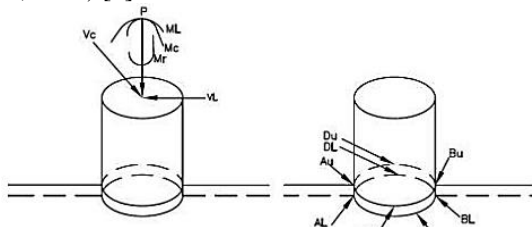
No	Stress Grouping	Allowable Stress
1	Pm	S
2	Pm + PL	1.5 S
3	Pm + PL + Q	3 S

Sumber: (ASME, 2010) [2]

Menurut (Andrade, 2015) [1], metode analisa *local stress* pada *nozzle* yang sering digunakan adalah *Welding Research Council 107 (WRC 107)*. *WRC 107* merupakan metode empiris yang digunakan untuk mengestimasikan tegangan pada *spherical* dan *cylindrical shell* yang dibebani oleh *attachment* atau *nozzle*. Dan beban *nozzle* pada pipa terdiri atas 6 (enam) komponen yaitu: (K.R Wichman, 1979) [5]

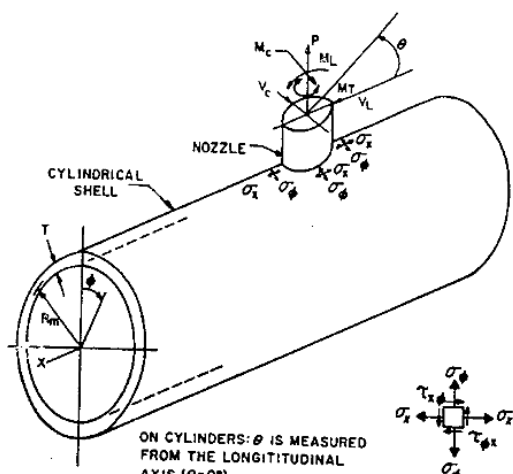
1. Beban radial  $P$ ,
2. Momen sirkumferensial  $MC$ ,
3. Momen longitudinal  $ML$ ,
4. Momen torsi  $MT$ ,
5. Gaya geser sirkumferensial  $VC$ ,
6. Gaya geser longitudinal  $VL$

Beban nozzle pada cylindrical vessel ditunjukkan pada Gambar 1 dimana A, B, C dan D merupakan lokasi dimana tegangan local pada dinding silinder diprediksi, *subskrip U* merujuk ke bagian luar dinding dan *subskrip L* merujuk ke bagian dalam dinding. Titik A dan B terletak pada garis lurus yang sejajar dengan sumbu x dari silinder. Titik C dan D terletak pada garis lurus yang memotong tegak lurus garis A-B (PT Tijara Pratama; COADE Inc; IDCS Asia Pte Ltd, 2004) [7]



Gambar 1 Beban Nozzle pada Cylindrical Vessel  
Sumber: (Andrade, 2015) [1]

Perjanjian arah gaya dan momen menurut referensi WRC 107 diperlihatkan pada Gambar 2. Sedangkan perjanjian tanda tegangan yang dihasilkan oleh gaya radial dan momen seperti pada Tabel 5.



Gambar 2 Tipe Beban Nozzle pada Cylindrical Shell  
Sumber: (K.R Wichman, 1979) [5]

Tabel 5 Tanda Perjanjian Beban

Tegangan	Lokasi	Beban		
		P	MC	ML
Membran $N\phi/T, Nx/T$	Au, AL	-	-	-
	Bu, BL	-	+	-
	Cu, CL	-	-	-
	Du, DL	-	+	-
Bending, $6Mx/T^2$	Au	-	-	-
	AL	+	+	-
	Bu	-	+	-
	BL	+	-	-

Tegangan	Lokasi	Beban		
		P	MC	ML
	Cu	-	-	-
	CL	+	+	-
	Du	-	+	-
	DL	+	-	-
	Au	-	-	-
	AL	+	+	-
	Bu	-	-	+
	BL	+	-	-
<i>Bending, <math>6M\phi/T^2</math></i>				
	Cu	-	-	-
	CL	+	+	-
	Du	-	+	-
	DL	+	-	-

Sumber: (K.R Wichman, 1979) [5]

Berdasarkan hasil penelitian Bijlaard's didapatkan formula untuk pembacaan kurva nondimensional dengan parameter *shell* ( $\gamma$ ) dan parameter *attachment* ( $\beta$ ). Formula untuk menghitung *shell parameter* dan *round attachment parameter* dapat dilihat pada persamaan 2 dan 3. (K.R Wichman, 1979) [5]

$$\gamma = \frac{R_m}{T} \quad (2)$$

$$\beta = \frac{0.875 r_o}{R_m} \quad (3)$$

Perhitungan tegangan akibat *membrane* dan *bending load* menggunakan *stress concentration factor value*. Nilai *stress concentration factor* untuk *membrane load* ( $K_n$ ) dan untuk *bending load* ( $K_b$ ) dapat dilihat pada persamaan 4 dan 5 yang didapat dari buku *Pipe Stress Analysis*. (Sam Kannapan, 1968) [8]

$$K_n = 1 + \left[ \frac{1}{5.6 \frac{r}{2T}} \right]^{0.65} \quad (4)$$

$$K_b = 1 + \left[ \frac{1}{9.4 \frac{r}{2T}} \right]^{0.8} \quad (5)$$

Perhitungan tegangan pada WRC 107 mengacu pada persamaan umum yang dapat dilihat pada persamaan 6.

$$\sigma_i = K_n \frac{Ni}{T} \pm K_b \frac{6Mi}{T^2} \quad (6)$$

Gaya membran dan momen bending tak berdimensi masing-masing beban dapat dilihat pada grafik WRC 107. Terdapat 16 (enam belas) grafik pada WRC 107 untuk *cylindrical shell*. Berdasarkan pembacaan grafik WRC 107 akan didapatkan nilai persamaan gaya *membrane* dan *bending moment* seperti Tabel 6.

Tabel 6 Gaya Membran dan Momen Bending pada Cylindrical Shell

No	From Figure-	Longitudinal		Circumferential	
		Read Curve for	From Figure-	Read Curve for	From Figure-
1	3C or 4C	$\frac{Nx}{P/R_m}$	3C or 4C	$\frac{N\phi}{P/R_m}$	
2	1C-1 or 2C	$\frac{Mx}{P}$	1C or 2C-1	$\frac{M\phi}{P}$	

No	From Figure-	Longitudinal	Circumferential
		Read Curve for $M_x$	Read Curve for $M_\phi$
3	2A	$\frac{Mc/R_m^2\beta}{Mc/R_m^2\beta}$	$\frac{M\phi}{Mc/R_m^2\beta}$
4	4A	$\frac{Nx}{Mc/R_m\beta}$	$\frac{N\phi}{Mc/R_m\beta}$
5	4B	$\frac{ML/R_m^2\beta}{Mx}$	$\frac{ML/R_m^2\beta}{ML/R_m^2\beta}$
6	2B or 2B-1	$\frac{ML/R_m\beta}{ML/R_m\beta}$	$\frac{M\phi}{ML/R_m\beta}$

Sumber: (K.R Wichman, 1979) [5]

Tegangan geser akibat momen torsi ( $MT$ ) dihitung sesuai persamaan 7. Sedangkan tegangan geser *round attachment* akibat  $V_c$  dan  $VL$  berdasarkan persamaan 8 dan 9.

$$\tau\phi x = \tau x\phi = \frac{M_T}{2\pi r_o^2 T} \quad (7)$$

$$\tau x\phi = \frac{V_L}{\pi r_o T} \cos \theta \quad (8)$$

$$\tau\phi x = \frac{V_c}{\pi r_o T} \sin \theta \quad (9)$$

Perhitungan *combined stress intensity* ( $S$ ) berdasarkan WRC 107 dapat dilihat pada persamaan 10 dan 11 dengan ketentuan berikut ini.

1. Jika  $\tau \neq 0$

$$S = \frac{1}{2} [\sigma x + \sigma \phi \pm \sqrt{(\sigma x - \sigma \phi)^2 + 4\tau^2}] \text{ or } \sqrt{(\sigma x - \sigma \phi)^2 + 4\tau^2} \quad (10)$$

2. Jika  $\tau = 0$

$$S = \sigma x, \sigma \phi \text{ or } (\sigma x - \sigma \phi) \quad (11)$$

### 3. HASIL DAN PEMBAHASAN

#### 3.1 External Load Nozzle Feed Inlet

*External Load* atau beban eksternal yang diterima *nozzle* berasal dari beban *line process inlet separator*. Beban tersebut didapatkan dari pemodelan sistem perpipaan pada *software CAESAR II*. Pada *software CAESAR II*, *nozzle line process inlet separator* dimodelkan sebagai *flexible anchor* sehingga didapatkan nilai beban yang diterima *nozzle* akibat beban sustain dan ekspansi sistem perpipaan.

Hasil beban yang diterima *nozzle* tersebut adalah sebagai berikut tertera pada Tabel 7.

Tabel 7 Hasil Beban Nozzle Feed Inlet

Beban Nozzle FY	P FZ	VL FX	Nilai WRC 107			
			Vc MZ	Mc MZ	ML MX	MT MY
			(lb)	(lb)	(lb.in)	(lb.in)
Sustain	-316	7	0	-21.4	5.2	29
Expansi on	75	119	0	-336.5	-622	542.7

Sumber: Report CAESAR II

#### 3.2 Nondimensional Curve WRC 107

Pembacaan *Nondimensional curve* WRC 107 berdasarkan nilai  $\gamma$  dan  $\beta$  menggunakan kurva tak berdimensi pada Persamaan 2 dan 3, dan Gaya Membran dan Momen Bending pada *Cylindrical Shell* pada Tabel 6.

Parameter pembacaan *Nondimensional curve WRC 107 nozzle feed inlet* tertera pada Tabel 8.

Tabel 8 Parameter Data Nozzle Feed Inlet

Parameter	Value	Unit
Outside Diameter Shell	OD	in
Inside Diameter Shell	ID	in
Thickness Shell	T	in
Mean Radius Shell	Rm	in
Outside Diameter Nozzle	od	in
Inside Diameter Nozzle	id	in
Thickness Nozzle	tn	in
Outside Radius Nozzle	ro	in

Sumber: Data Penulis

Hasil pembacaan *Nondimensional curve WRC 107 nozzle feed inlet* tertera pada Tabel 9.

Tabel 9 Pembacaan Nondimensional curve WRC 107 Nozzle Inlet

Curves read for 1979	$\gamma$	$\beta$	Circumferential Stress Cylindrical Shell Curve		
			Figur e	Valu e	Locatio n
$N(PHI)/(P/Rm)$	102.	0.09	4C	22.2	
)	10	75	0	A, B	
$N(PHI)/(P/Rm)$	102.	0.09		13.0	
)	10	75	0	C, D	
	102.	0.09			
$M(PHI)/P$	10	75	2C-1	0.06	A,B
	102.	0.09		0.09	
$M(PHI)/P$	10	75	1C	1	C, D
$N(PHI)/$	102.	0.09		A, B,	
$(MC/Rm^2*\beta)$	10	75	3A	3.80	C, D
$M(PHI)/$	102.	0.09		A, B,	
$(MC/Rm*\beta)$	10	75	1A	0.08	C, D
$N(PHI)/$	102.	0.09		11.2	A, B,
$(ML/Rm^2*\beta)$	10	75	3B	0	C, D
$M(PHI)/$	102.	0.09		0.03	A, B,
$(ML/Rm*\beta)$	10	75	1B-1	5	C, D

Curves read for 1979	$\gamma$	$\beta$	Longitunal Stress Cylindrical Shell Curve		
			Figur e	Valu e	Locatio n
$N(PHI)/(P/Rm)$	102.	0.09	3C	13.0	
)	10	75	0	A, B	
$N(PHI)/(P/Rm)$	102.	0.09		22.2	
)	10	75	0	C, D	
	102.	0.09			
$M(PHI)/P$	10	75	1C-1	0.09	A,B
	102.	0.09		0.05	
$M(PHI)/P$	10	75	2C	8	C, D
$N(PHI)/$	102.	0.09		A, B,	
$(MC/Rm^2*\beta)$	10	75	4A	6.20	C, D
$M(PHI)/$	102.	0.09		0.04	A, B,
$(MC/Rm*\beta)$	10	75	2A	5	C, D
$N(PHI)/$	102.	0.09		A, B,	
$(ML/Rm^2*\beta)$	10	75	4B	3.90	C, D
$M(PHI)/$	102.	0.09		A, B,	
$(ML/Rm*\beta)$	10	75	2B-1	0.05	C, D

Sumber: Data Penulis

#### 3.3 Stress Concentration Factor

Perhitungan *stress concentration factor for membrane load* dan *bending load* menggunakan Persamaan 4 dan 5.

Hasil perhitungan *stress concentration factor* untuk *nozzle feed inlet* tertera pada Tabel 10.

Tabel 10 Hasil Perhitungan Stress Concentration Factor Nozzle Inlet

Hasil Perhitungan	Value	Unit	Note
Stress Concentration Factor for Membrane Load	Kn	1.105	-
Stress Concentration Factor for Bending Load	Kb	1.041	-

Sumber: Data Penulis

### 3.4 Local Stress Calculation

Perhitungan local stress shell ada 3 yaitu *Circumferential Stress*, *Longitudinal Stress*, dan *Shear Stress*. Pada *Circumferential* dan *Longitudinal Stress* diakibatkan 3 beban yaitu *Beban Radial (P)*, *Circumferential Moment (MC)*, dan *Longitudinal Moment (ML)*. Sedangkan pada *Shear Stress* diakibatkan 3 beban pula yaitu *Moment Torsi (MT)*, *Longitudinal Force (VL)*, dan *Circumferential Force (VC)*. Pada perhitungan ini terdapat 8 macam posisi tegangan lokal pada dinding silinder yang telah dijelaskan pada Gambar 1.

Perhitungan local stress menggunakan hasil beban pada masing - masing nozzle, pembacaan kurva *Nondimensional WRC 107*, dan perhitungan *stress concentration factor*, serta Tabel perjanjian beban.

#### 3.4.1 Local stress categories

Tabel 11 berikut menjelaskan seluruh posisi *local stress nozzle feed inlet* untuk *local stress categories*.

Tabel 11 Perhitungan Local Stress Categories Nozzle Inlet

Type of Stress	Stress Value At (psi)							
	Au	Al	Bu	Bl	Cu	Cl	Du	Dl
Circ.	126	127	126	127	126	127	126	127
Pm (SUS)	69. 520	94. 220	69. 520	94. 220	69. 520	94. 220	69. 520	94. 220
Circ.	339	339	340	340	200	200	198	198
PL (SUS)	.68 8	.68 8	.88 9	.88 9	.10 7	.10 7	.42 9	.42 9
Circ.	529	529	531	531	816	816	794	794
Q (SUS)	.71 8	.71 8	.88 5	.88 5	.00 4	.00 4	.09 3	.09 3
Circ.	-	-	-	102	-	-	-	302
Q (EXP)	5.3 07	12. 521	408 .18	.95 5	52. 915	15. 297	.423 .81	.85 1
Long.	633	639	633	639	633	639	633	639
Pm (SUS)	4.7 60	7.1 10	4.7 60	7.1 10	4.7 10	7.1 60	4.7 10	7.1 10
Long.	199	199	199	199	341	341	338	338
PL (SUS)	.05 9	.05 9	.47 7	.47 7	.65 7	.65 7	.92 0	.92 0
Long.	794	-	797	-	518	-	507	-
Q (SUS)	.65 4	.65 4	.74 9	.74 9	.84 0	.84 0	.37 5	.37 5
Long.	-	-	-	301	-	-	314	109
Q (EXP)	26. 121	18. 429	.41 2	.78 4	.90 891	.27 602	.20 2	.63 7

Type of Stress	Stress Value At (psi)							
	Au	Al	Bu	Bl	Cu	Cl	Du	Dl
Shear . Pm (SUS)	0.0 00	0.0 00	0.0 00	0.0 00	0.0 00	0.0 00	0.0 00	0.0 00
Shear . PL (SUS)	0.8 77	0.8 77	0.8 77	0.8 77	0.8 77	0.8 77	0.8 77	0.8 77
Shear . Q (SUS)	0.3 38	0.3 38	0.3 38	0.3 38	0.3 38	0.3 38	0.3 38	0.3 38
Shear . Q (EXP)	21. 245	21. 245	21. 245	21. 245	21. 245	21. 245	21. 245	21. 245
Pm (SUS)	126 69. 520	127 94. 220	126 69. 520	127 94. 220	126 69. 520	127 94. 220	126 69. 520	127 94. 220
Pm+ PL (SUS)	130 09. 208	131 33. 908	130 10. 409	131 35. 109	128 627	129 627	128 627	129 649
Pm+ PL+ Q	135 33. 618	125 91. 669	131 34. 109	127 06. 179	136 32. 715	121 026	132 225	125 407

Sumber: Data Penulis

#### 3.4.2 Local stress summary

Tabel 12 berikut menjelaskan seluruh posisi *local stress nozzle feed inlet* untuk *local stress summary*.

Tabel 12 Perhitungan Local Stress Summary Nozzle Inlet

Stress Grouping	Max (psi)	Allowable Stress (psi)	Result
Pm (SUS)	12794.220	20000	Passed
Pm+ PL (SUS)	13135.109	30000	Passed
Pm+ PL+ Q	13632.715	60000	Passed

Sumber: Data Penulis

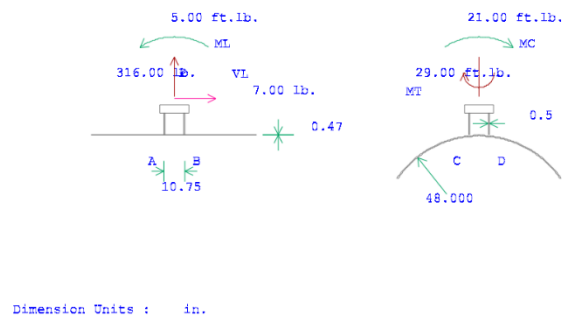
Dapat diambil kesimpulan pada *nozzle feed inlet N1-10"* pada *stress maximum* seluruh posisi ini untuk semua *grouping stress* dinyatakan aman atau tidak melebihi masing - masing *allowable stress material* nya.

### 3.5 Validation Local Stress Calculation

Validasi analisa local stress pada *cylindrical vessel* akibat beban *nozzle line process inlet separator* dilakukan menggunakan *component analysis* pada *software "CAESAR 2018"*. Validasi dengan *software* ini dilakukan untuk mendapatkan hasil yang sesuai *software* atau pengecekan hasil analisa *local stress cylindrical vessel*.

Validasi analisa ini menggunakan semua data analisa pada sub bab 3.4 yang hasil *drawing component analysis* tertera pada Gambar 3.

WRC 107 Analysis : WRC107 N1  
 WRC 107 Version : MARCH, 1979  
 Pressure (psi) : 124.700 lb./sq.in  
 Vessel Corr. Allow. : 0.1180  
 Nozzle Corr. Allow. : 0.1180  
 Load Input: SUStained Loads



Gambar 3 Validation Local Stress Calculation Nozzle Inlet  
 Sumber: Report CAESAR II

#### 4. KESIMPULAN

Perhitungan manual tegangan *cylindrical shell vessel* pada 8 type connection nozzle akibat external load sesuai WRC 107 didapatkan hasil stress grouping nozzle feed inlet dibawah batas aman masing – masing allowable stress materialnya. Dengan stress maksimal yang terjadi untuk stress grouping 1 ( $P_m$ ) Primary membrane stress sebesar 12794.220 psi dengan batas aman sebesar 20000 psi, untuk stress grouping 2 ( $P_m+PL$ ) Primary local stress sebesar 13135.109 psi dengan batas aman sebesar 30000 psi, dan untuk stress grouping 3 ( $P_m+PL+Q$ ) Secondary stress sebesar 13632.715 psi dengan batas aman sebesar 60000 psi. Lalu validasi perhitungan manual menggunakan component analysis software CAESAR II yang didapatkan hasil kalkulasi dibawah batas aman yang termasuk kriteria aman.

#### 5. PUSTAKA

- [1] Andrade, T. L. (2015). Analysis of Stress in Nozzle/ Shell of Cylindrical Pressure Vessel Under Internal Pressure and External Load in Nozzle. *JERA ISSN: 2248-9622*, 84-91.
- [2] ASME. (2010). *Rules for Construction of Pressure Vessel ASME Section VIII Divisi 2*. New York: The American Society of Mechanical Engineers.
- [3] ASME. (2017). *Rules for Construction of Pressure Vessel ASME Section VIII Divisi 1*. New York: American Society of Mechanical Engineering.
- [4] G.S. Jagadale, M. R. (2015). Nozzle Load Stress Analysis using WRC 107 and WRC 297. *International Engineering Research Journal ISSN 2395-1621*, 1191-1194.

[5] K.R. Wichman, A. (1979). *Local Stress in Spherical and Cylindrical Shell due to External Loading*. New York: United Engineer Center.

[6] Moss, D. (2004). *Pressure Vessel Design Manual*. New York: Gulf Professional Publishing.

[7] PT Tijara Pratama; COADE Inc; IDCS Asia Pte Ltd. (2004). *Pelatihan Dasar Analisa Tegangan Pipa*. Jakarta: PT Tijara Pratama.

[8] Sam Kannapan, P. E. (1968). *Introduction to Pipe Stress Analysis*. Canada: A Wiley Interscience Publication.